

## 小型预警机主雷达天线的机体散射<sup>1</sup>

马凤国 高飞 刘其中 龚书喜

(西安电子科技大学天线与电磁散射研究所 西安 710071)

**摘要** 该文以一致性几何绕射理论(UTD)为基础,利用新提出的叠加模型对小型预警机主雷达相控阵天线的机体散射(包括螺旋桨散射)进行了分析,定量得出了这些散射的特点和变化规律,为天线装机后辐射性能预测与布局优化提供了理论依据。

**关键词** 小型预警机,螺旋桨,相控阵天线,一致性几何绕射理论,机体散射,叠加模型

**中图分类号** TN95, TN820

### 1 引言

小型预警机造价便宜、技术难度小、投资风险小、研制周期短、作战配置灵活,在一定的战区区域内,可以有效地发挥战役要求的通信、控制、指挥和情报(C<sup>3</sup>I)中心的作用。小型预警机机体小,主雷达采用先进的相控阵天线。这种由裂缝波导或印刷振子构成的面天线阵,位置靠近机身,天线辐射将受到机体的散射效应影响,如机体或机翼对天线射线的绕射和遮挡,在一些扫描角度上,扫描波束的主波瓣可能形成的对某些散射结构的直接照射,使装机后的天线空间辐射方向图有较大的畸变,从而影响雷达性能。由于天线装机后难以改变,一旦装机位置不合理会造成极大的经济和战略损失,因此在装机前对天线受到的机体散射效应影响做出定量的估计,并据此提出天线安装位置的优化设计方案,是非常必要的!

预警雷达一般工作在厘米波段,相对于飞机尺寸来讲,这时的散射属于高频散射的范畴。解决这类问题最有效的方法是高频近似法,如GO/GTD方法。利用UTD研究飞行器等一类复杂散射体的高频散射,可采取Michigan大学的组合方法(Combination Method)。然而,小型预警机主雷达散射有其特殊性,首先小型预警机一般都是螺旋桨飞机,旋转的螺旋桨给机体散射带来了更多的复杂性,本文采用与机翼成一定角度的长矩形条带模拟螺旋桨。其次相对于机体尺寸,主雷达天线具有大口径特性,并且在应用中具有扫描特性。如何对大尺寸的天线口面应用UTD,是多年来高频散射的一个重要问题。传统的方法是将天线直接等效为位于天线相位中心的点源,该点源具有与原天线同样的方向图,显然,对于辐射单元相位幅度均不相同的大口径天线来说,计算精度是较低的,本文则是将组成天线阵的每一个单元单独作为一个点源来考虑,考虑天线在扫描或不扫描时馈电的相位和幅度分布,分别计算这些点源在各自实际位置的散射场量,最后进行矢量叠加获得散射效应的结果。

利用以上方法,计算了某小型预警机在飞机机翼位于上中下位置和天线位于不同高度以及主波束在不同扫描角时,主雷达垂直和水平方向的辐射方向图,其结果与文献或实验数据吻合较好。根据计算数据,分析了小型预警机大口径相控阵天线的机体散射效应,优化了天线架设位置设计。

### 2 计算模型和算法

利用UTD求解飞机散射效应,首先要建立飞机和天线等效模型。小型预警机的主要结构可分解为6部分:机身、机翼(包括垂直尾翼与水平尾翼)、发动机、螺旋桨、起落架吊舱及机载的主雷达天线系统。为了比较精确地预测相控阵雷达的机体散射效应,又要使计算机的计算量

<sup>1</sup> 2000-04-21收到,2000-12-19定稿

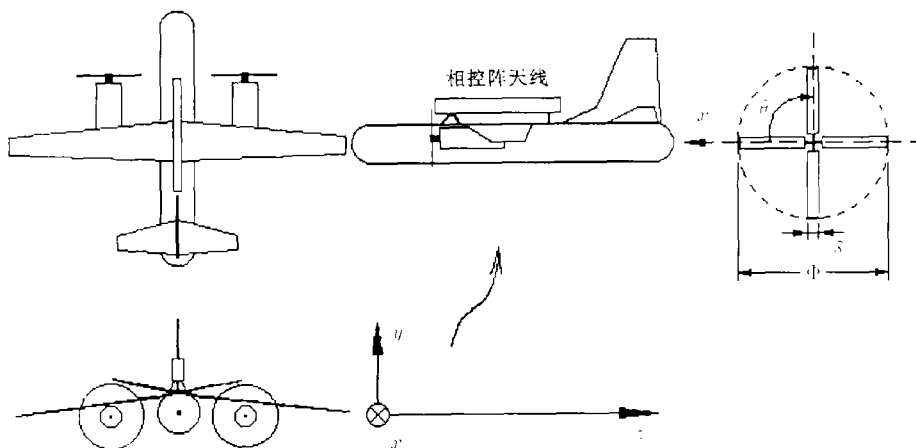


图 1 飞机及螺旋桨的等效模型和统一坐标系

和存储量不至于太大, 将系统的这几个主要结构进行以下等效: (1) 机身等效为理想导电圆柱加头尾半球; (2) 机翼等效为平面屏; (3) 发动机和起落架吊舱等效为空心理想导电圆柱, (4) 螺旋桨等效为一个旋转角度可变的长矩形理想导体条。等效飞机模型和统一坐标系如图 1, 螺旋桨参数中,  $\delta$  为桨叶叶片宽度,  $\Phi$  为旋转半径,  $\theta$  为叶片与  $X$  轴的夹角。

小型预警系统的主雷达天线是背负的  $M \times N$  单元平面波导裂缝或印刷振子天线阵, 在水平扫描方向形成的 Taylor 方向图, 在垂直方向形成扇形方向图。由于 UTD 中求解典型问题的辐射源为点源或二维线源, 不能直接应用于大口面相控阵天线, 故传统上天线部分等效为位于天线口面几何中心 (同时也是相位中心) 的具有实际天线自由空间理想方向图的点源 (点源模型: Point Source Model)。由于天线尺寸, 尤其是沿飞机纵向的尺寸很大, 相对于小型预警机的机体来说, 这种等效必然会带来一定的误差, 因此, 我们修正了这种普遍采用的点源模型, 而将构成天线的每一个单元等效为一个点源来考虑, 那么整个天线阵的散射场就是每个单元的散射场的矢量叠加 (叠加模型: Additive Model)。而每一个单元的理想方向图和馈电的相位和幅度分布, 则可以通过预处理来得到, 当天线处于扫描的状态时, 只需要通过改变预处理中的相位分布部分, 就可以很方便地得到扫描时飞机对天线阵的散射效应。

任意一个辐射单元在某一远场点的散射场为出射射线经飞机结构的反射、绕射或直射所形成的分场量的矢量叠加,

$$E = u^i E^i + u^{pr} E^{pr} + u^{pd} E^{pd} + u^{sr} E^{sr} + u^{sd} E^{sd} + u^{lr}(\theta) E^{lr}(\theta) + u^{ld}(\theta) E^{ld}(\theta) \quad (1)$$

式中  $E^i$  为直达场,  $E^{pr}$  为机翼平板反射场,  $E^{pd}$  为边缘绕射场 (包括机翼直边缘绕射场、发动机曲边缘绕射场和一些必须的二次绕射场),  $E^{sr}$  和  $E^{sd}$  为机身及发动机的曲面反射场和绕射场,  $E^{lr}$  和  $E^{ld}$  为螺旋桨的反射场和绕射场,  $u$  为各分场量的相应射线寻迹和遮挡判断因子, 当指向远场点的相应射线存在并且不被飞机机体部件遮挡时, 其值为 1, 否则为 0, 其中与螺旋桨有关的量随螺旋桨的角度发生变化。考虑到各个分量场计算采用各自方便的局部坐标系, 要进行空间矢量叠加, 必须先将这些分量场在一个统一坐标系中进行分解, 然后再进行统一的矢量叠加。我们选定飞机模型坐标系  $(x, y, z)$  为统一坐标系 (图 1), 那么 (1) 式写成矩阵

形式即为

$$\begin{aligned} \begin{bmatrix} E_x \\ E_y \\ E_z \end{bmatrix} = & u^i \begin{bmatrix} E_x^i \\ E_y^i \\ E_z^i \end{bmatrix} + u^{pr} \begin{bmatrix} E_x^{pr} \\ E_y^{pr} \\ E_z^{pr} \end{bmatrix} + u^{pd} \begin{bmatrix} E_x^{pd} \\ E_y^{pd} \\ E_z^{pd} \end{bmatrix} + u^{sr} \begin{bmatrix} E_x^{sr} \\ E_y^{sr} \\ E_z^{sr} \end{bmatrix} \\ & + u^{sd} \begin{bmatrix} E_x^{sd} \\ E_y^{sd} \\ E_z^{sd} \end{bmatrix} + u^{lr} \begin{bmatrix} E_x^{lr} \\ E_y^{lr} \\ E_z^{lr} \end{bmatrix} + u^{ld} \begin{bmatrix} E_x^{ld} \\ E_y^{ld} \\ E_z^{ld} \end{bmatrix} \end{aligned} \quad (2)$$

对于叠加模型, 这样的一次计算只是一个单元的散射场, 实际天线总的散射效应是各个单元散射效应的再次矢量叠加, 即:

$$E^t = \sum_{m=1}^M \sum_{n=1}^N E(m, n) \cdot F(m, n) \quad (3)$$

式中  $E^t$  为场点接收的总场,  $E(m, n)$  是天线阵第  $m$  行第  $n$  列单元的散射总场, 而  $F(m, n)$  是第  $m$  行第  $n$  列单元的馈电相位和幅度。图 2 为预测主雷达相控阵天线的机体散射效应计算软件的流程图。

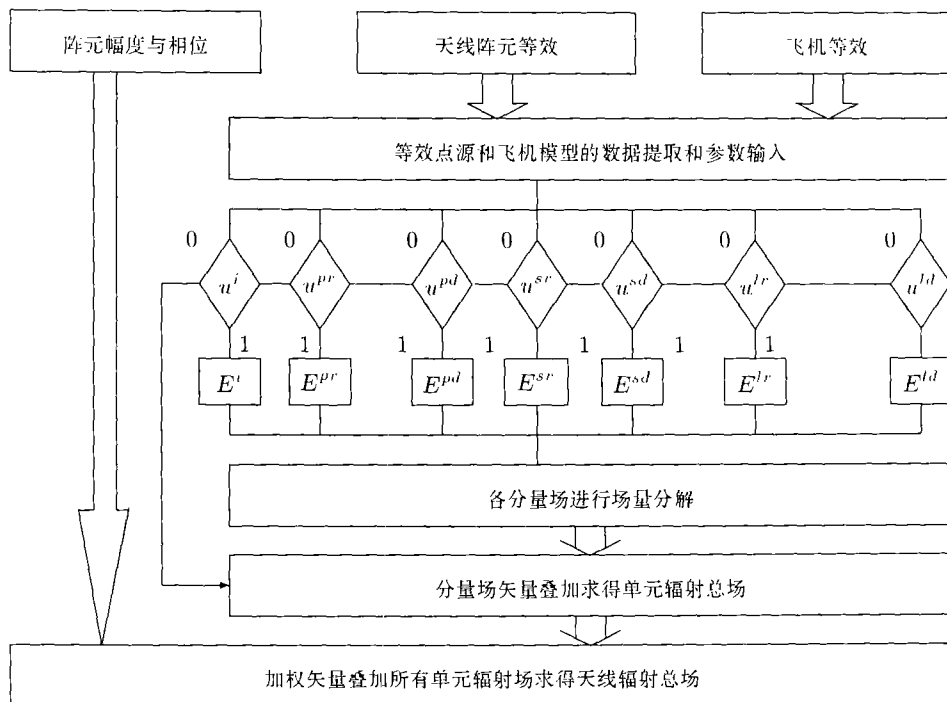


图 2 机体散射效应计算流程图

### 3 计算结果和分析

利用上述算法, 分别计算了小型预警机不同剖面 and 不同扫描角的散射方向图, 其中相控阵天线型式为 10 (竖直) × 192 (水平) 单元平面波导裂缝阵主瓣, 尺寸为 105λ × 9λ × 7λ, 几何中心位于机身中轴线距机头 117λ 的位置, 载机为 X 型国产中型螺旋桨运输机, 机身全长 285λ,

翼展  $3.45\lambda$ ，螺旋桨参数为： $\delta = 5.8\lambda$ ， $\Phi = 35\lambda$ 。图3为具有单极子方向图的点源在X型电子干扰飞机上的方向图，其中1#天线位于机身15框区中轴线下部，6#天线位于机身70框区下部偏 $x$ 轴 $45^\circ$ ，并与利用微波暗室缩比模型实测的结果进行了对比，在 $0-360^\circ$ 的范围内，计算预测的结果与暗室的实测结果相差平均不到 $3-5\text{dB}$ ，表明了阵元辐射场的精度，而图4与文献[3]结果的对比，说明了上述算法预测大口面相控阵天线散射的正确性。

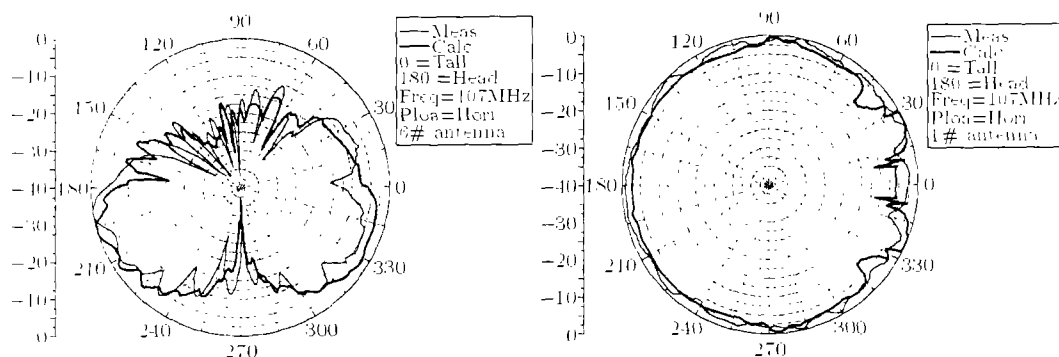


图3 X型电子战飞机6#天线俯仰面和1#天线水平面方向图预测和实测对比

从获得的方向图计算结果可以看出：

(1) 机体对天线水平扫描面方向图的影响随着天线架设高度的降低而增强(图4,图5,图6)。具体来说,螺旋桨及机翼、机体头尾的散射使天线方向图副瓣提高明显,其中高度最低时的 $12\lambda$ 近区副瓣提高 $5\text{dB}$ ,而远区副瓣最高可提高 $5-10\text{dB}$ ,甚至有超过近区副瓣电平的远区副瓣产生。随着架设高度的增加,当天线高度大于螺旋桨桨叶最高高度时,散射效应明显减小,在我们所考察的几个高度中,架高 $24\lambda$ 以上对于近区副瓣的影响已很小,主要只是在远区副瓣区域有 $5-10\text{dB}$ 的电平提高,已构不成对天线探测和跟踪性能的根本影响。

(2) 机体散射对天线垂直面影响很大,垂直面主要的散射机制为机翼散射,螺旋桨影响较小(图4,图7,图8)。具体来说,机翼对高空副瓣形成波动干扰,最大高空副瓣电平峰值增加可达 $10\text{dB}$ ,平均 $5\text{dB}$ 左右,且随着高度增加影响减弱,而低空副瓣由于机翼阻挡电平大幅度降低。天线架高 $12-18\lambda$ 时主瓣打在机翼上,主瓣电平叠加使得主瓣产生畸变,而架高 $18\lambda$ 以上仅有副瓣照射到机翼上,此时主瓣基本不受散射影响。

(3) 从图5-图8可以看出,螺旋桨位于静态某一位置对天线辐射的影响不大,主要是在水平方向远区副瓣产生一些散射波动,而对主瓣和近区副瓣以及垂直面方向图的影响不大。当天线底边高度低于螺旋桨(如天线架高为 $12\lambda$ 和 $18\lambda$ 的两种布局方案)的最高高度( $h = 35\lambda$ )时,某些扫描角度可能会导致扫描波束主瓣被螺旋桨遮挡,这表示了主瓣扫描在螺旋桨上的最坏情形,是要坚决避免的。旋转的螺旋桨将增大对天线的散射,并出现对散射的调制效应。

(4) 图9和图10可以看出机翼位置对天线辐射的影响,显然上单翼飞机机翼距离最近,对天线辐射影响最大,而中单翼和下单翼飞机则要好一些,副瓣电平相差最大达 $3-5\text{dB}$ ,因此在可能的情况下,小型预警机应尽量采用下单翼飞机做载机。

综合以上几点,我们认为:小型预警机主雷达的辐射受机翼影响较大,螺旋桨影响较小,因此基于天线辐射性能的考虑,天线布局方案应在尽可能的范围内,尽量选用下单翼飞机,加高天线的架设高度,使其远离机翼和螺旋桨,对于我们所计算的飞机和天线模型,垂直面主波束不扫描时最低要求是天线底边不得低于螺旋桨桨叶的最高高度,此时天线下边缘最低架高 $22\lambda$ ,垂直面主波束 $\pm 2.5^\circ$ 扫描时,要相应提高天线高度,此时天线下边缘最低架高 $29\lambda$ 左右。

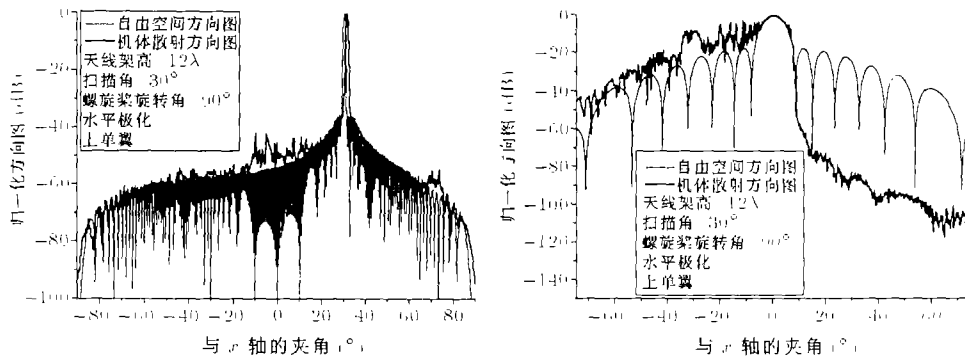


图 4 X 型小型预警机水平面和垂直面散射方向图与理想方向图对比

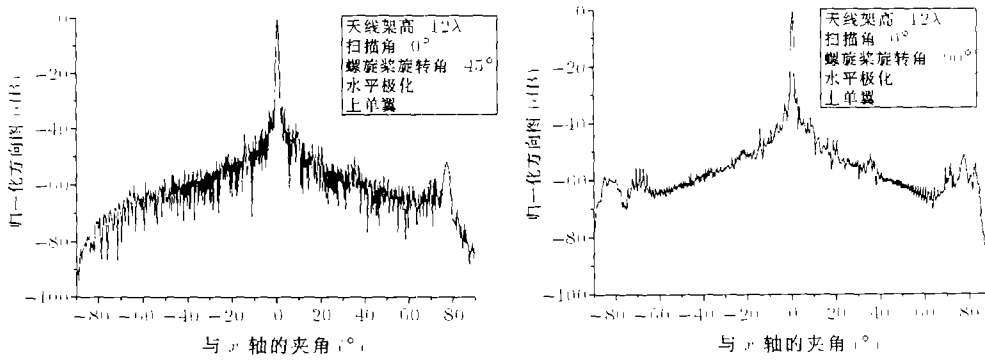


图 5 X 型小型预警机天线架高 12λ 时的水平面散射方向图

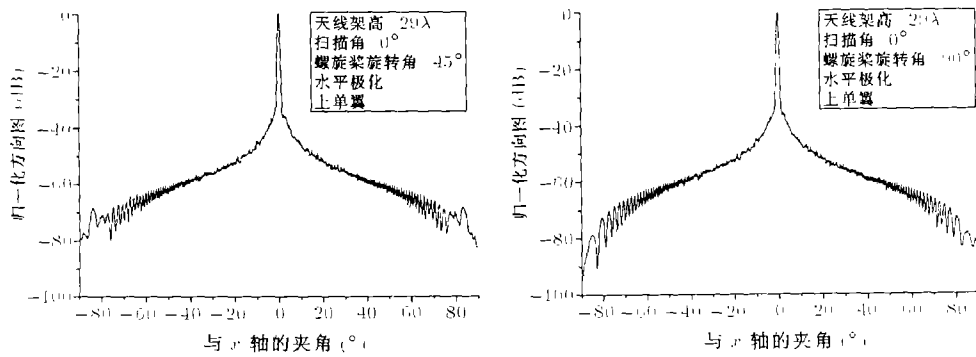
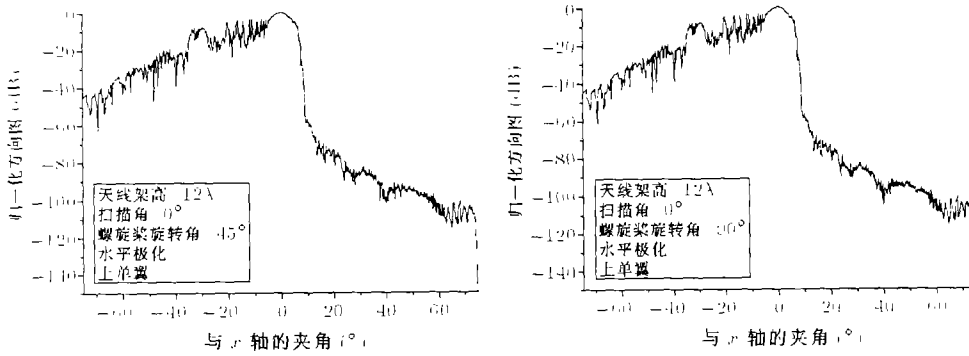
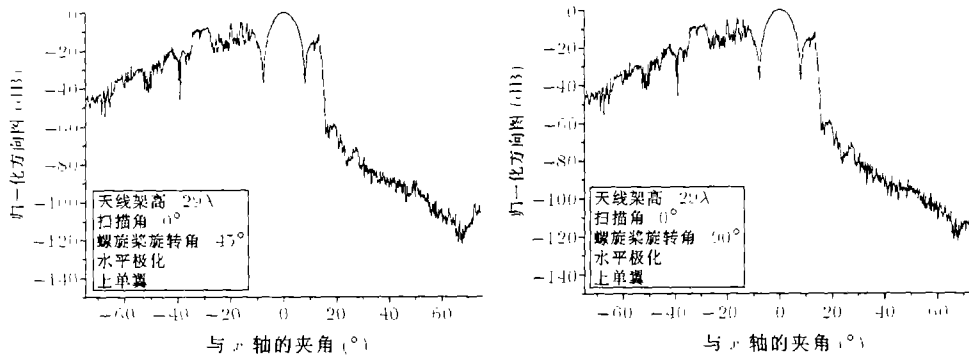
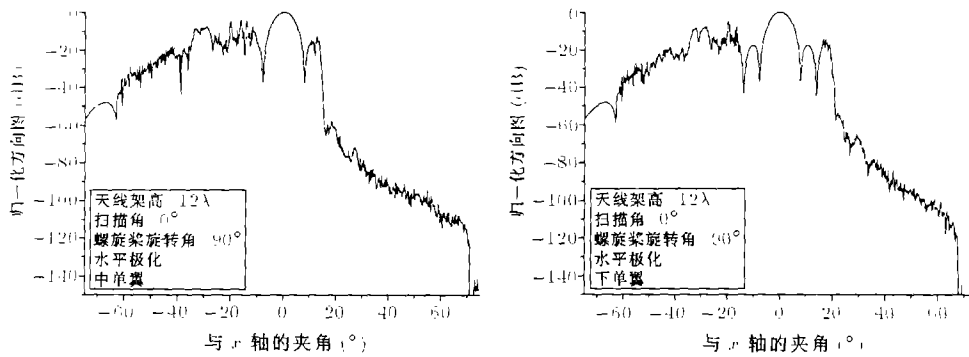


图 6 X 型小型预警机天线架高 29λ 时的水平面散射方向图

图7 X型小型预警机天线架高 $12\lambda$ 时的垂直面散射方向图图8 X型小型预警机天线架高 $29\lambda$ 时的垂直面散射方向图图9 中单翼和下单翼布局天线架高 $12\lambda$ 时的垂直面散射方向图

## 4 结 论

基于 UTD 理论的小型预警机主雷达机体散射研究有着不同于一般天线机体散射研究的特点, 首先要考虑这种天线系统的大口面扫描特性, 利用叠加模型, 其次要采用比较精确的飞机模型, 计算机翼、发动机甚至螺旋桨等的影响, 并计入尽量多的散射射线, 才能提高计算的有效性和精确度。

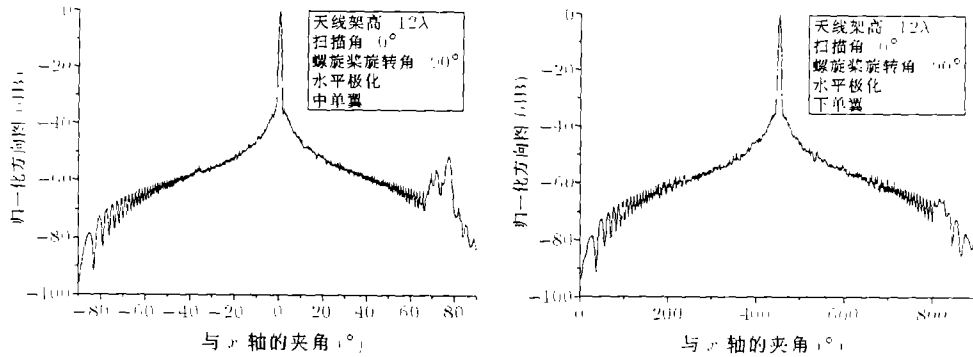


图 10 中单翼和下单翼布局天线架高  $12\lambda$  时的水平面散射方向图

### 参 考 文 献

- [1] J. B. Keller, Geometrical theory of diffraction, J. Opt. Soc. Am., 1962, 52(2), 116-130.
- [2] R. G. Kouyoumijan, P. H. Pathak, A uniform theory of diffraction for an edge in a perfectly conducting surface, Proc. IEEE, 1974, 62(11), 1448-1461.
- [3] B. N. Suresh Babu, T. P. Guella, Effect of antenna aircraft interaction on phased-array radar performance, IEEE National radar conference, Bedford, 1993, 102-106.
- [4] 汪茂光, 几何绕射理论, 西安, 西安电子科技大学出版社 (第二版), 1994 年 12 月, 第 2, 4, 5 章.
- [5] 马凤国, 刘其中, 等, 大口面天线机体散射效应分析, 微波学报, 1999, 15(3), 238-243.

## SCATTERING OF THE MAIN RADAR ANTENNA FIXED ON MINI-AWACS

Ma Fengguo Gao Fei Liu Qizhong Gong Shuxi

(Research Inst. of Antenna and EM Scattering, Xidian University, Xi'an 710071, China)

**Abstract** Based on the Uniform Geometric Theory of Diffraction (UTD), the scattering of aircraft including propellers for the phased-array of the main radar is analysed by using of a new additive model of antenna. The variety and characteristic of the scattering is presented quantitatively. It can be used as a theoretical basis to dope out the radiation performance and optimize the arrangement of antennas.

**Key words** Mini-AWACS, Propeller, Phased-Array, UTD, Scattering of Aircraft, Additive Model

马凤国: 男, 1971 年生, 博士生, 主要研究方向为电磁场理论的工程应用及电磁兼容技术.

高飞: 男, 1973 年生, 博士生, 主要研究方向为电磁场理论的工程应用及天线技术.

刘其中: 男, 1938 年生, 教授, 博士生导师, 主要研究领域包括电磁理论及应用、天线宽带和小型化技术、天线的计算机辅助设计技术等等, 并发表有多本专著.

龚书喜: 男, 1958 年生, 教授, 主要研究领域为电磁场理论及应用.